

## بررسی کمی و کیفی ترکیبات فنلی در پوست سیب، رقم گالا

لیما وجودی مهربانی<sup>۱</sup>، محمدرضا دادپور<sup>\*</sup><sup>۱</sup>، عباس دل آذر<sup>۲</sup>، علی موافقی<sup>۳</sup> و جعفر حاجی لو<sup>۱</sup>

<sup>۱</sup> گروه علوم باغبانی، دانشکده کشاورزی، دانشگاه تبریز، تبریز

<sup>۲</sup> گروه فارماکوگنوژی و مرکز تحقیقات کاربردی دارویی دانشگاه علوم پزشکی تبریز، تبریز

<sup>۳</sup> گروه علوم گیاهی، دانشکده علوم پایه، دانشگاه تبریز، تبریز

### چکیده

بررسی کمی و کیفی ترکیبات فنلی (اسیدهای فنلی، فلاونولها و آنتوسیانین) میوه سیب رقم گالا (Gala) به وسیله کروماتوگرافی مایع با عملکرد بالا (HPLC) از نوع تجزیه‌ای، میکروسکوپ فلورسنس و میکروسکوپ نوریاب تابشی در سه مرحله اصلی نمو سیب [۱- مرحله فندقی؛ ۲- مرحله میانی نمو میوه (روز بعد از تمام گل)؛ ۳- مرحله برداشت تجاری میوه] انجام شد. نتایج حاصل نشان دهنده وجود تفاوت‌های کمی و کیفی در تجمع و میزان فنل های اندازه گیری شده در طی فصل رشد در پوست سیب رقم گالا بود. میزان آنتوسیانین در طی فصل به تدریج در پوست میوه افزایش یافت و نتایج حاصل از مطالعات HPLC و میکروسکوپی نشان دادند که بیشترین مقدار و تجمع آنتوسیانین در مرحله برداشت تجاری میوه مشاهده شد. مطالعه HPLC و میکروسکوپی انجام شده نشان داد که بیشترین میزان اسیدهای فنلی در مرحله فندقی میوه وجود دارد. با این حال، کاهش شدید در میزان اسیدهای فنلی در مرحله میانی نمو میوه قابل توجه است و در مرحله برداشت تجاری میوه افزایش در میزان اسیدهای فنلی نسبت به مرحله میانی نمو میوه مشاهده شد. مقایسه داده‌های HPLC و تصاویر میکروسکوپی نشان داد که در مرحله برداشت تجاری میوه کاهش، شدید در میزان فلاونولها وجود دارد. انطباق تصاویر میکروسکوپی با داده‌های HPLC توانایی میکروسکوپ فلورسنس در ترکیبات فنلی موجود در پوست میوه سیب را نشان می‌دهد. مطالعه ترکیبات ذکر شده توسط میکروسکوپ فلورسنس در تطبیق با مطالعات کروماتوگرافی، روشی سریع در شناسایی گروههای مختلف ترکیبات فنلی است که می‌تواند به اتخاذ تدبیر صحیح مدیریتی باعث‌گردان ارتباط با افزایش ویژگی‌های کیفی میوه سیب کمک نماید.

**واژه‌های کلیدی:** آنتوسیانین، ترکیبات فنلی، سیب، کروماتوگرافی مایع با عملکرد بالا، میکروسکوپ فلورسنس

### مقدمه

بیوستتر آنها در پوست میوه سیب و سایر بافت‌های گیاهی،

از طریق دو مسیر شیکمیک اسید و استات- موالونات تحت

تأثیر مرحله نموی گیاه و فاکتورهای بیرونی انجام می‌گیرد

میوه سیب منبع غنی از ترکیبات فنلی است. ترکیبات

فنلی از مهمترین متابولیت‌های ثانویه در گیاهان هستند که

این بررسی، بیشترین تجمع ترکیبات فنلی (روتین، فلاونول گلیکوزید، فلاونول) در پوست میوه وجود داشت. با توجه به اینکه شناسایی ترکیبات فنلی و فلاونوئیدی در طی فصل رشد به کمک روش‌های کروماتوگرافی مشکل است، لذا در تحقیق حاضر سعی شده است با استفاده از فنون میکروسکوپی (فلورسنس و نوربازتابشی) و کروماتوگرافی (HPLC) روند تغییرات ترکیبات فنلی در پوست میوه سیب مورد بررسی قرار گیرد. انتظار می‌رود که با آگاهی از روند تغییرات ترکیبات فوق بتوان ویژگی‌های کیفی میوه را در مقیاس عملی با اعمال روش‌های مدیریتی صحیح به زراعی و مدیریت باغ افزایش داد.

## مواد و روش‌ها

**مواد گیاهی:** میوه سیب، رقم گالا از درختان پیوندی روی پایه مالینگ مرتون ۱۰۶ موجود در شهرستان بستان‌آباد واقع در آذربایجان شرقی تهیه شد. نمونه‌گیری برای مطالعات مورد نظر از سه مرحله اصلی رشد میوه، شامل: ۱- مرحله فندقی؛ ۲- مرحله میانی نمو میوه (۸۰ روز بعد از تمام گل) و ۳- مرحله برداشت تجاری میوه انجام شد. نمونه‌گیری به صورت تصادفی از چهار جهت درخت انجام شد. نمونه‌ها بعد از جمع آوری بلا فاصله به آزمایشگاه منتقل شدند و گرد و غبار موجود در سطح میوه به کمک آب مقطر شسته و سپس پوست میوه‌ها با حوله تمیز خشک شد. پوست میوه‌ها با چاقوی تیز به صورت خیلی نازک جدا و خشک شد. نمونه‌های خشک شده بعد از آسیاب کردن برای مطالعه فیتوشمیابی استفاده شدند.

(Santiago *et al.*, 2000; Takos *et al.*, 2006) ترکیبات فنلی و فلاونوئیدی اغلب در پوست میوه سیب تجمع یافته، و عمدۀ ترین آنها اسیدهای فنلی، فلاونول‌ها، کوئرستین گلیکوزید، دی‌هیدرو چالکون‌ها، فلاونول و آنتوسیانین (Awad *et al.*, 2001b; Takos *et al.*, 2006) هستند (Khanizadeh *et al.*, 2007; Santiago *et al.*, 2000; Pothavorn, 2008). ترکیبات فنلی در گیاهان دارای فعالیت‌های متعددی، از قبیل تنظیم فعالیت‌های نموی و واکنش‌های دفاعی گیاهان در مقابل عوامل زنده و غیر زنده هستند (Bae *et al.*, 2006; Rudall and Gaddick, 1994).

روش‌های متعددی برای مطالعه ترکیبات فنلی در گیاهان وجود دارد که عمدۀ ترین آنها آنالیز کمّی و کیفی ترکیبات فنلی و فلاونوئیدی با استفاده از روش‌های جداسازی و تعیین ساختار، از قبیل کروماتوگرافی مایع با عملکرد بالا، طیف سنجی جرمی، طیف سنج رزونانس مغناطیسیس هسته‌ای (NMR) و کروماتوگرافی لایه‌نمازک هستند. بعلاوه، برای آشکارسازی و مکان‌یابی معمولاً از روش‌های متعارف میکروسکوپی (میکروسکوپ نوری، الکترونی، فلورسنس و کونفوکال) استفاده می‌شود (Rudall and Gaddick, 1994).

و مؤثرترین تکنیک مطالعه حضور اسیدهای فنلی (مشتقات فرولیک اسید) در دیواره‌های سلولی گیاهان تک‌لپه، استفاده از میکروسکوپ فلورسنس ماوراء‌بنفس است. مطالعات HPLC انجام شده روی ترکیبات فنلی گوشت و پوست ارقام مختلف سیب توسط Khanizadeh و همکاران (۲۰۰۷) نشان‌دهنده وجود تفاوت‌هایی در میزان تجمع ترکیبات پلی‌فنلی در بخش‌های مختلف میوه بود. بر اساس

وسیله ستون محافظ (C18) (به طول ۵ میلی متر با قطر داخلی ۴ میلی متر با اندازه ذرات ۵ میکرومتر) محافظت می شد، انجام شد. شناسایی ترکیبات فلاونوئیدی و اسیدهای فلزی در طول موج ۲۸۰ نانومتر انجام شد. برای شناسایی فلاونولها، آنتوسیانین و اسیدهای فلزی از فاز متحرک حاوی ۲٪ استیک اسید در آب (پمپ A) و متانول (پمپ B) استفاده شد. شب خطی غلظت به کاربرده شده برای حلال متانول حاوی استیک اسید از ۱۰٪ B شروع شد و سپس در طی ۲۰ دقیقه به ۱۰۰٪ رسید. در فاصله زمانی ۲۰ تا ۲۵ دقیقه در این حالت باقی ماند. سپس در طی ۲ دقیقه دوباره به حالت اول خود؛ یعنی ۱۰٪ B رسید، و تا زمان ۳۰ دقیقه در این حالت باقی ماند.

**شناسایی و کمیت یابی ترکیبات پلی فلزی و فلاونوئیدی:** برای شناسایی ترکیبات فلاونوئیدی (آنتوسیانین و فلاونول) و اسیدهای فلزی از مقایسه زمان بازداری (Retention Time) پیک های مربوط به ترکیبات استاندارد با ترکیبات حاصل از عصاره پوست استفاده شد. برای به دست آوردن زمان بازداری ترکیبات فلاونوئیدی و اسیدهای فلزی، ترکیبات استاندارد با غلظت ۲٪ میلی گرم در یک میلی لیتر متانول تهیه گردیدند. سپس برای شناسایی ترکیبات فلاونوئیدی و اسیدهای فلزی عصاره ها و حصول به زمان بازداری استانداردها، ۲۰ میکرولیتر از عصاره و استانداردها به طور جداگانه به دستگاه HPLC آنالیکال تزریق شدند. در مواردی که اندازه پیک استاندارد در مقایسه با پیک های مجھول بزرگتر بود، محلول استاندارد ۱:۱۰ رقیق گردید و سپس به دستگاه تزریق شد تا اندازه منحنی های مجھول و استاندارد قابل مقایسه باشد.

**استخراج ترکیبات پلی فلزی و فلاونوئیدی:** به منظور استخراج ترکیبات فلاونوئیدی (آنتوسیانین و فلاونول) و اسیدهای فلزی روی یک گرم از پوست میوه خشک شده، ده میلی لیتر حلال هگزان افزوده شده و به مدت بیست دقیقه در حمام فرماصوت (Ultra Sonic Bath, Power Sonic, Korea) ۵۰۵ در دمای آزمایشگاه عصاره گیری شد. سپس عصاره هگزانی به وسیله تبخیر در خلا (Heidolph, Germany) خشک شد. روی عصاره خشک شده مرحله قبلی ۱۰۰ میلی لیتر مخلوط متانول: آب (۱:۱) افزوده شد و سپس به مدت ۲۰ دقیقه در حمام فرماصوت قرار گرفت. عصاره های حاصل صاف شده، سپس به مدت ده دقیقه در ۱۳۰۰ دور در دقیقه سانتریفیوژ (Beckman, J-25 USA) شدند. ۲۰ میکرولیتر از عصاره حاصل برای شناسایی ترکیبات فلزی به وسیله HPLC تجزیه ای استفاده قرار گردید.

**کروماتوگرافی مایع با عملکرد بالا (HPLC):** استخراج و شناسایی ترکیبات فلاونوئیدی و اسیدهای فلزی با استفاده از روش تغییر یافته Lata و همکاران (۲۰۰۹) و Khanizadeh و همکاران (۲۰۰۷) انجام شد. روش مورد استفاده امکان شناسایی ترکیبات ذکر شده را در زمان کوتاه (۳۰ دقیقه) فراهم می آورد. جداسازی به وسیله سیستم HPLC تجزیه ای (Cecil, English) مجهز به پمپ دو گانه (Cecil, 4100)، حذف کننده حباب های هوا (Cecil, 4201) و آشکار کننده ماوراء بنفسنجی (Cecil, 4201) انجام شد. جداسازی ترکیبات فلزی با استفاده از ستون فاز معکوس (C18) (به طول ۲۵۰ میلی متر و با قطر داخلی ۴/۵ میلی متر با اندازه ذرات ۵ میکرومتر) که به

### آزمایش‌های میکروسکوپی

**آماده‌سازی نمونه‌ها برای مطالعات هیستولوژیک**  
**حذف واکس نمونه‌ها:** حذف واکس به منظور مشاهده بهتر نمونه‌ها در زیر میکروسکوپ با استفاده از روش Gniwotta و همکاران (۲۰۰۵) انجام شد. سپس نمونه‌های به اندازه  $0.5 \times 0.5$  سانتی‌متر با استفاده از تیغه تیز از قسمت میانی پوست میوه مطابق روش Bae و همکاران (۲۰۰۶) تهیه شدند.

**مشاهده آنتوسیانین‌ها:** نمونه‌های تهیه شده به روش ذکر شده در بالادر داخل پتربلندیش حاوی آب مقطر قرار گرفت. آنتوسیانین با استفاده از روش میکروسکوپ نوریابز تابشی مشاهده شد.

### مواد رنگ‌آمیزی

**رنگ‌آمیزی با دی‌فنیل بوریک اسید ۲-آمونیا اتیل استر (NA) برای مشاهده فلاونول‌ها و اسیدهای فنلی:** رنگ‌آمیزی نمونه‌ها مطابق روش Kladnik و همکاران (۲۰۰۴) انجام شد؛ با این تفاوت که در تحقیق انجام شده از نمونه‌های تازه گیاهی به عوض نمونه‌های آبگیری شده استفاده شد.

**رنگ‌آمیزی بافت‌ها با کلرید آهن برای مشاهده تانن‌ها:** از کلرید آهن برای رنگ‌آمیزی تانن‌ها مطابق روش Rangari (۲۰۰۷) استفاده شد.

**میکروسکوپ فلورسنس:** برای مکانیابی و توزیع آنتوسیانین‌ها و سایر ترکیبات فنلی در پوست میوه سیب از فنون نوین میکروسکوپی بر پایه بهبود عمق میدان (Dadpour et al., 2008) بهره‌گیری شد. در این روش می‌توان در

تعیین کمیت ترکیبات فلاونوئیدی و اسیدهای فنلی با استفاده از روش اندازه‌گیری سطح زیرمنحنی و مقایسه با استانداردهای مربوطه انجام گرفت. زمان بازداری ترکیبات استاندارد مورد استفاده برای کمیت یابی ترکیبات پلی‌فنلی و فلاونوئیدی به ترتیب زیر بود: پارا-کوماریک اسید ۱۳'۲۳'، گالیک اسید ۱۳'۵۱'۶، فرولیک اسید ۱۳'۵۳'، کافئیک اسید ۱۱'۵۷'، ترانس-۲-هیدروکسی سینامیک اسید ۱۵'۲۷'، اپی‌کتچین ۱۱'۹۳۸'، سیانیدین-۳-گالاکتوزید ۱۱'۱۳'.

### ترکیبات استاندارد و حالات مورد استفاده:

پاراکوماریک اسید، (-) اپی‌کتچین، سیانیدین-۳-گالاکتوزید و گالیک اسید از شرکت Sigma خریداری شدند. کافئیک اسید، فرولیک اسید، ترانس-۲-هیدروکسی سینامیک اسید و (+) کتچین از شرکت Sigma Aldrich تهیه شدند. استونیتریل، ان-هگزان و فرمیک اسید از شرکت Merck و متانول از شرکت Caledon خریداری شد.

در این آزمایش، تجزیه واریانس داده‌های حاصل از تیمارها (مراحل نموی میوه) و صفات (ترکیبات) که در دو تکرار (دو بار تزریق) به دست آمده بودند، از طریق تجزیه و تحلیل یک طرفه انجام گردید. مقایسه میانگین‌ها به روش آزمون چند دامنه‌ای دانکن در سطح احتمال ۵٪ صورت گرفت. برای این منظور، از بسته نرم‌افزاری SPSS استفاده شد.

سانتی گراد و دمای روزانه ۲۴-۳۰ درجه سانتی گراد بود که محدوده دمایی مناسبی برای بیوسنتر آنتوسبینین ها است. **فلاونول ها یا تانن ها:** نتایج نشان داد که با نمو میوه بر میزان فلاونول ها در پوست میوه افروده شد، اما درست قبل از رسیدن میوه میزان فلاونول ها در پوست میوه کاهش یافت. بیشترین میزان فلاونول ها در مرحله میانی نمو میوه مشاهده شد ( $P \leq 0.05$ ). در این مرحله فلاونول ها (کتچین و اپی کتچین) ۵۰٪ از کل ترکیبات فلزی را شامل بود. کاهش در میزان فلاونول ها در مرحله برداشت تجاری میوه در ارتباط با کاهش شدید در محظای اپی کتچین بود، که میزان آن در مرحله برداشت میوه نسبت به مرحله فندقی تا ۳ برابر کاهش نشان داد (شکل ۱). میزان کتچین در مرحله میانی نمو میوه بیشتر از مراحل فندقی و برداشت میوه بود (شکل ۱). اپی کتچین و گالیک اسید (اسید فلزی) از پیش سازهای مهم تانن های متراکم هستند که تغییر مقدار ترکیبات فوق به نوسان هایی در میزان تانن های متراکم مربوط است.

**اسیدهای فلزی:** نتایج نشان دهنده وجود تغییراتی در میزان اسیدهای فلزی ( $P \leq 0.05$ ) موجود در پوست میوه بود (شکل ۲). اسیدهای فلزی در مرحله فندقی میوه ۰.۵٪، در مرحله میانی نمو میوه ۳٪ و در مرحله برداشت میوه ۴٪ از کل ترکیبات فلزی را شامل می شدند. میزان گالیک اسید به ترتیب در مرحله فندقی و میانی نمو میوه ۶٪ و ۱۳٪ و در مرحله برداشت میوه ۲٪ از اسیدهای فلزی کل را به خود اختصاص می داد. میزان کافئیک اسید در پوست گالا در مرحله برداشت، بیشتر از میزان آن در مرحله فندقی بود و کمترین میزان آن در مرحله میانی رشد مشاهده گردید.

کنار بهبود عمق میدان دید میکروسکوپی، کanal های چند گانه فلورسنس را در یک تصویر هم آوری نمود و از این راه داده های کاملی را به دست آورد. در این راستا، پس از انجام رنگ آمیزی، نمونه در یک پترو دیش پلاستیکی سیاه رنگ که با آب مقطر (به منظور جلوگیری از چروکیدگی) پُرشده بود، جایگیری گردید. از میکروسکوپ فلورسنس اولمپوس BX51 در چهار پرتو برانگیخته ۳۷۰، ۴۷۰، ۵۱۰، ۵۵۰ و ۵۶۰ نانومتر بهره گیری شد. برداشت تصویر با دوربین خنک شونده بسیار حساس (توانایی جداسازی ۱۶ میلیون رنگ در نور RGB) انجام پذیرفت و در قالب بندی TIFF در حالت (۱۲) بیت به ازای هر کanal ذخیره شد. فرآوری و پردازش تصویرهای برداشت شده با نرم افزار ImageJ صورت گرفت.

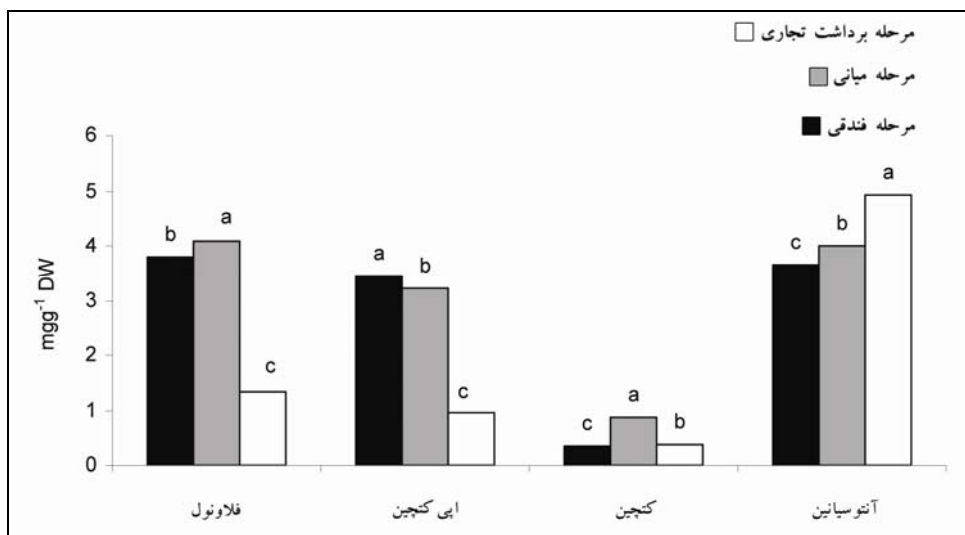
## نتایج

### نتایج حاصل از مطالعه HPLC

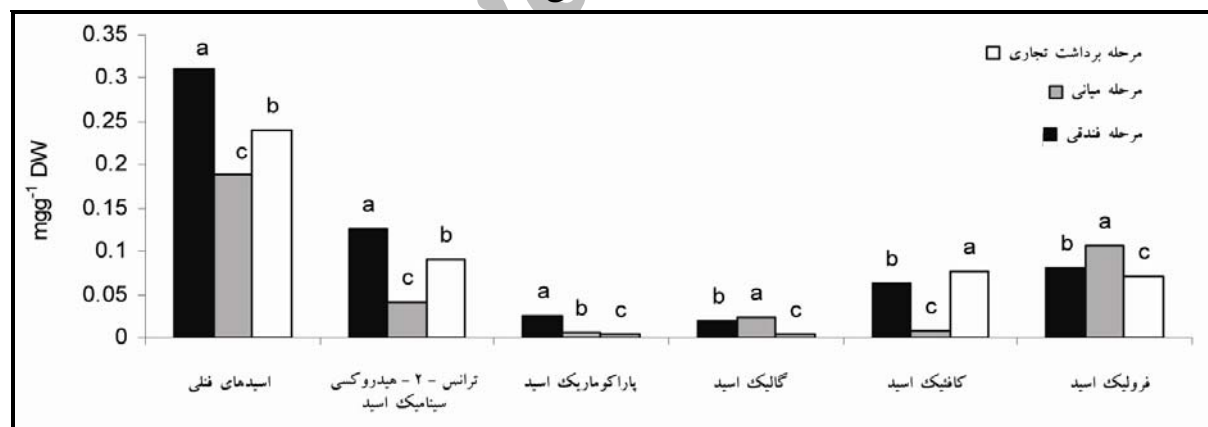
**آنتوسبینین ها:** نتایج نشان دهنده وجود تفاوت های کمی در میزان آنتوسبینین در طی فصل رشد در پوست سیب رقم گالا بود. حداقل تجمع آنتوسبینین ها در پوست سیب در مرحله برداشت تجاری میوه مشاهده شد (شکل ۱) ( $P \leq 0.05$ ). افزایش تدریجی در میزان آنتوسبینین پوست سیب گالا بویژه در مرحله میانی نمو میوه (۸۰ روز بعد از تمام گل) شاید در ارتباط با شرایط آب و هوایی منطقه بستان آباد باشد. با توجه به داده های هواشناسی (داده ها نشان داده نشده است) مشخص شده است که از مرداد ماه به بعد در منطقه بستان آباد متوسط دمایی شبانه ۱۸ درجه

کل اسیدهای فلی هر مرحله را شامل می‌شد. میزان فروولیک اسید در مرحله میانی رشد میوه بیشتر از مراحل ابتدایی و نهایی نمو میوه بود (شکل ۲).

(شکل ۲). ترانس-۲-هیدروکسی سینامیک اسید فراوانترین اسید فلی مشاهده شده در پوست سیب گالا به غیر از مرحله میانی نمو میوه بود (شکل ۲) که میزان آن در مرحله فندقی میوه ۵/۸٪ و در مرحله برداشت میوه ۳۷٪ از



شکل ۱- تغییرات آنتوسیانین و فلاونول‌های (کچین و ابی کچین) موجود در پوست سیب گالا در طی فصل رشد. حروف موجود در ستون‌ها نشان‌دهنده اختلاف معنی‌دار بین مراحل مختلف نمود برای هر ترکیب در سطح احتمال ۵٪ بر مبنای آزمون دانکن است.



شکل ۲- تغییرات اسیدهای فلی موجود در پوست سیب گالا در طی فصل رشد. حروف موجود در ستون‌ها نشان‌دهنده اختلاف معنی‌دار بین مراحل نمود برای هر ترکیب در سطح احتمال ۵٪ بر مبنای آزمون دانکن است.

پوست سیب دیده شد (شکل ۳-ستون ۱ ردیف ۳). در مرحله فندقی (شکل ۳-ستون ۱ ردیف ۱) و میانی نمو میوه (ستون ۱ ردیف ۲) تجمع آنتوسیانین در داخل سلول مشاهده شد، اما به تدریج با نمو میوه، آنتوسیانین در

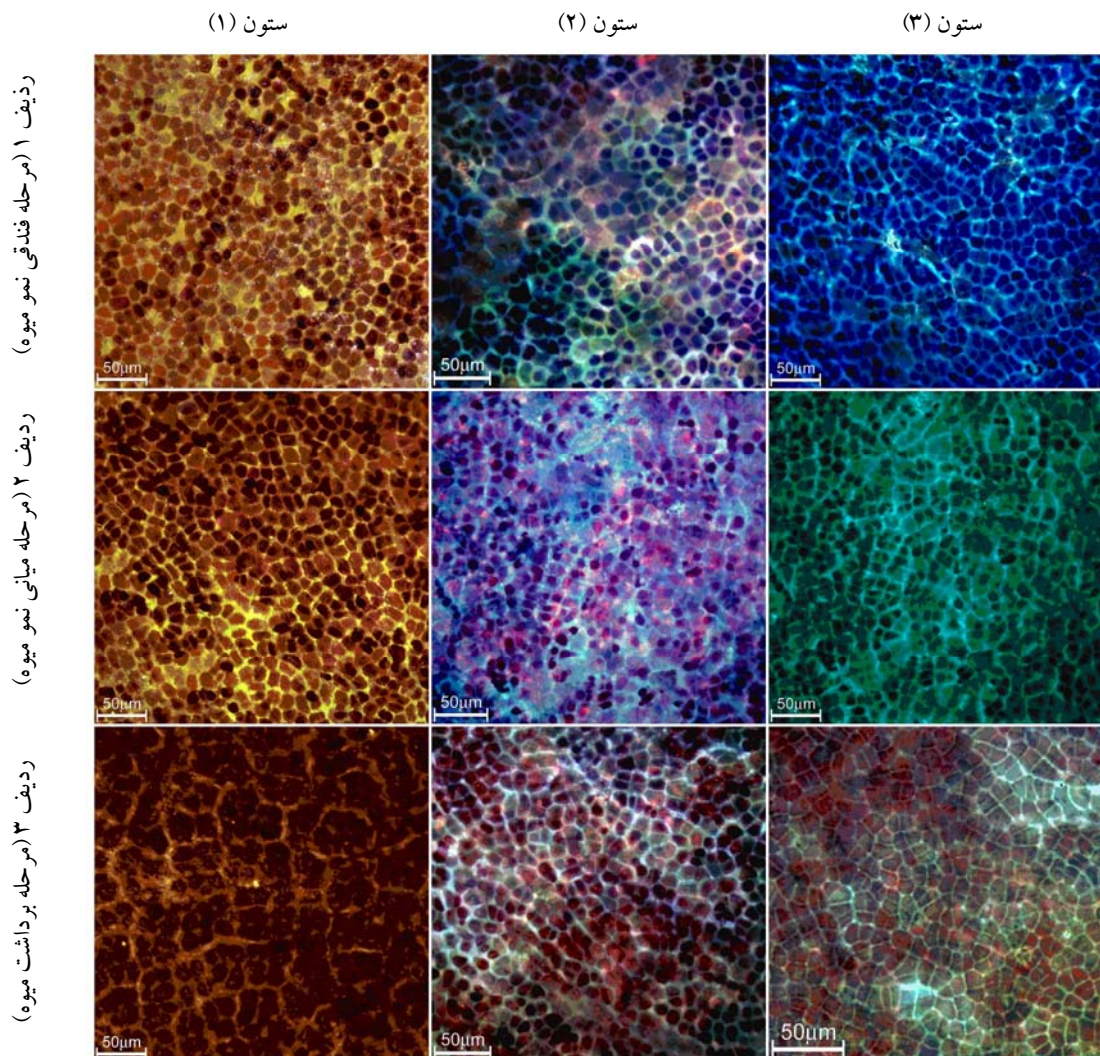
### نتایج حاصل از مطالعات میکروسکوپی

تصاویر میکروسکوپی نشان‌دهنده افزایش تدریجی میزان آنتوسیانین در طی فصل رشد در پوست سیب گالا بود. حداقل تجمع آنتوسیانین در مرحله برداشت میوه در

اسیدهای فلزی، مخصوصاً کافئیک اسید (فلورسنس آبی روشن) و ترانس - ۲ - هیدروکسی سینامیک اسید (فلورسنس سبز روشن) نسبت به مرحله میانی رشد میوه افزوده شد، اما از تجمع فرولیک اسید، گالیک اسید و پاراکوماریک اسید کاسته شد (شکل ۳- ستون ۳ ردیف ۲). فلورسنس آبی مشاهده شده در مرحله فندقی میوه نشان دهنده تجمع تانن های قابل هیدرولیز (کتچین، اپی کتچین و گالیک اسید) در اطراف دیواره های سلولی و داخل سلول بود (شکل ۳- ستون ۳ ردیف ۱). اپی کتچین از پیش سازهای مهم تانن های متراکم در سلول های گیاهی است و حداکثر تجمع این ترکیب در سلول های گیاهی در مرحله فندقی (فلورسنس آبی مشاهده شده در شکل ۳ ستون ۳ ردیف ۱) و میانی نمو میوه سیب (فلورسنس سبز مشاهده شده در شکل ۳ (ستون ۳ ردیف ۲) مشاهده شد و به تدریج با نمو میوه از تجمع تانن های قابل هیدرولیز کاسته و بر تجمع تانن های متراکم افزوده شد. فلورسنس سبز مشاهده شده در اطراف دیواره های سلولی و در داخل سلول، دلیل بر افزایش این مواد در سلول های پوست سیب بود (شکل ۳- ستون ۳ ردیف ۲). فلورسنس سبز مشاهده شده در مرحله برداشت میوه نشان دهنده کاهش تجمع تانن های متراکم (مخصوصاً کاهش شدید در تجمع اپی کتچین در پوست میوه نسبت به مرحله فندقی میوه) و استقرار آنها در دیواره های سلولی پوست سیب بود (شکل ۳- ستون ۳ ردیف ۳).

واکوئل های سلول های مستقر در خوش های سلولی مرکز یافت (ستون ۱ ردیف ۳). تصاویر میکروسکوپی نشان دهنده تغییراتی در میزان ترکیبات فلاونوئیدی و اسیدهای فلزی موجود در پوست سیب گالا در طی فصل رشد بود. همان گونه که شکل ۳ (ستون ۲ ردیف ۲) نشان می دهد، بیشترین تجمع فلاونول ها (فلورسنس آبی) در مرحله میانی نمو میوه دیده شد و به طرف مرحله برداشت میوه کاهش جزئی در تجمع فلاونوئیدها مشاهده گردید. در این مرحله از رشد میوه از تجمع اسیدهای فلزی در پوست میوه نسبت به مرحله فندقی نمو میوه کاسته شد (شکل ۳- ستون ۳ ردیف ۲).

مقایسه فلورسنس حاصل از نمونه های پوست و استاندارهای ترکیبات فلزی و فلاونوئیدی رنگ آمیزی شده با NA نشان داد که در مرحله فندقی میوه (شکل ۳- ستون ۲ ردیف ۱) فلورسنس نارنجی مایل به صورتی به دلیل حضور آنتوسیانین در پوست میوه بوده و فلورسنس سبز آبی مشاهده شده به دلیل حضور اسیدهای فلزی، مخصوصاً پاراکوماریک اسید، فرولیک اسید، گالیک اسید (از پیش سازهای تانن)، ترانس - ۲ - هیدروکسی سینامیک اسید و کافئیک اسید بود. در اواسط فصل رشد اثری از آنتوسیانین در سلول مشاهده نشد (شکل ۳- ستون ۲ ردیف ۲). در این مرحله بر تجمع فرولیک اسید و گالیک اسید نسبت به مرحله فندقی میوه افزوده شد. بعلاوه، کاهش شدید در تجمع برخی اسیدهای فلزی، از قبیل کافئیک اسید، ترانس - ۲ - هیدروکسی سینامیک اسید و پاراکوماریک اسید نسبت به مرحله فندقی میوه دیده شده و بیشترین میزان فلورسنس آبی - سبز مشاهده شده در این مرحله به دلیل حضور کتچین (فلاونول ها) در سلول بود (ستون ۲ ردیف ۲). در مرحله برداشت میوه، بر میزان



شکل ۳- روند تغییرات ترکیبات فتلی و فلاؤنوئیدی در سه مرحله نموی در پوست میوه؛ سیب رقم گالا

آنتوسیانین‌ها و فلورسننس سبز-آبی به دلیل حضور اسیدهای فتلی در پوست میوه است؛ ردیف ۲-فلورسننس آبی- سبز نشان‌دهنده حضور فلاؤنوول‌ها در پوست میوه؛ ردیف ۳-فلورسننس آبی و سبز روشن نشانه حضور اسیدهای فتلی در مرحله برداشت تجاری میوه.

ستون ۳- روند تغییرات ترکیبات فلاؤنوی رنگ‌آمیزی شده با  $\text{FeCl}_3$ ، ردیف ۱-فلورسننس آبی نشان‌دهنده حضور تانهای قابل هیدرولیز در پوست میوه؛ ردیف ۲-فلورسننس سبز در اطراف دیواره‌های سلولی پوست میوه

ستون ۱- روند تغییرات آنتوسیانین در طی فصل رشد؛ ردیف ۱- تجمع آنتوسیانین در سلول‌های منفرد پوست میوه، ردیف ۲- افزایش تدریجی در میزان آنتوسیانین نسبت به مرحله اول رشد میوه؛ ردیف ۳- افزایش شدید در میزان آنتوسیانین‌ها و استقرار آنها در سلول‌های موجود در خوش‌های سلولی.

ستون ۲- روند تغییرات ترکیبات فلاؤنوئیدی و اسیدهای فتلی رنگ‌آمیزی شده با  $\text{NA}$ ، ردیف ۱-فلورسننس نارنجی مایل به صورتی نشان‌دهنده حضور

(شب‌های خنک و روزهای گرم همراه با تابش بالا) در طی اواسط فصل رشد در منطقه مذکور باشد.

#### فلاؤنول‌ها یا تانن‌های متراکم: تانن‌های متراکم

سیب اکثراً پلیمر پروآنتوسیانیدین‌ها هستند (Takos *et al.*, 2006). در پوست سیب سیس و ترانس فلاوان-۳-اول‌ها همان کتچین و اپی‌کتچین‌ها هستند که به عنوان واحدهای آغازشگر بیوستتر تانن‌های متراکم عمل می‌کنند (Awad *et al.*, 2001a). بررسی‌های انجام شده توسط Rangari (۲۰۰۷) نشان داد که دو گروه از تانن‌ها با کلرید‌آهن واکنش نشان می‌دهند: ۱- تانن‌های قابل هیدرولیز که محلول در آب هستند و بر اثر رنگ‌آمیزی با کلرید‌آهن به رنگ آبی دیده شدند؛ ۲- تانن‌های متراکم که بر اثر رنگ‌آمیزی با کلرید‌آهن به رنگ سبز دیده شدند. چنین به نظر می‌رسد که استقرار تانن‌های متراکم در مرحله برداشت میوه سیب گالا به دلیل رسوب این ترکیبات بر اثر ایجاد پیوند با پروتئین‌های موجود در دیواره‌های سلولی باشد که با یافته‌های Takos و همکاران (۲۰۰۶) و Fournand و همکاران (۲۰۰۶) مطابقت دارد. تصاویر میکروسکوپی شکل ۳ (ستون ۳ ردیف‌های ۱ و ۲) نشان داد که در مرحله فندقی و میانی نمو میوه، سیب ترکیبات تاننی موجود در داخل سلول فرم مشخصی نداشت، در داخل سیتوپلاسم سلول و اطراف دیواه‌های سلولی پراکنده‌اند. Alemanno و همکاران (۲۰۰۳) در بررسی‌های خود روی گل‌های کاکائو بیان نمودند که ترکیبات تاننی به صورت بی‌شکل و یا کروی در تمام بافت‌های اپیدرمی و پارانشیمی گیاهان مورد مطالعه دیده شدند.

نتایج حاصل از آزمایش‌های (میکروسکوپی و HPLC) انجام شده نشان داد که با نمو میوه بر میزان فلاؤنول‌ها در پوست میوه افزوده شد، اما درست قبل از رسیدن میوه میزان

به دلیل حضور تانن‌های متراکم در پوست میوه؛ ردیف ۳ فلورسنس سبز نشان‌دهنده وجود تانن‌های متراکم در پوست میوه در مرحله برداشت تجاری میوه است.

#### بحث

**آنتوسیانین‌ها:** نتایج حاصل از آزمایش‌های HPLC و میکروسکوپی نشان‌دهنده وجود روند تدریجی در افزایش میزان آنتوسیانین‌ها در طی فصل رشد در پوست سیب گالا بود. حداکثر تجمع آنتوسیانین در مرحله برداشت میوه در سلول‌های اپیدرمی سیب مشاهده شد که با یافته‌های Lister و همکاران (۱۹۹۴)، Santiago و همکاران (۲۰۰۰) و Alemanno و همکاران (۲۰۰۳) در این خصوص مطابقت دارد. افزایش تدریجی در میزان آنتوسیانین‌های پوست (مخصوصاً در مرحله میانی نمو میوه) در طی فصل رشد، شاید در ارتباط با شرایط آب و هوایی منطقه بستان‌آباد باشد. نتایج حاصل از این آزمایش با نتایج حاصل از آزمایش‌های Reay و Lancaster (۲۰۰۱) و Yuri و همکاران (۲۰۰۹) در خصوص اثر اختلاف دمایی در بیوستتر آنتوسیانین مطابقت دارد. Takos و همکاران (۲۰۰۶) بیان نمودند که دو مرحله در بیوستتر آنتوسیانین‌ها وجود دارد: ۱- در مراحل اولیه نمو میوه (۱۸ تا ۴۸ روز بعد از تمام گل)؛ ۲- در هنگام رسیدن میوه (۱۳۴ روز بعد از تمام گل). کاهش در میزان آنتوسیانین‌ها در مراحل میانی نمو میوه به دلیل رقیق شدن این ترکیبات بر اثر رشد سریع میوه است، اما در تحقیق حاضر (نتایج حاصل از آزمایش‌های میکروسکوپی و HPLC) کاهش در میزان آنتوسیانین در مرحله میانی نمو میوه دیده نشد که شاید دلیل آن، وجود شرایط محیطی مناسب برای بیوستتر آنتوسیانین

فلورسنس آبی مشاهده شده در نمونه‌های گیاهی بدون رنگ‌آمیزی (*Johnsonia lupulina*) (قراردادن نمونه در آب خالص) و رنگ‌آمیزی شده با هیدروکسید آمونیوم (آبی - سبز) مشاهده شده در مرحله میانی نمو، میوه احتمالاً به دلیل حضور فرولیک اسید متصل به دیواره‌های سلولی است (Rudall and Gaddick, 1994; Hoerner and Weissenbock, 2003) (آبی - سبز) مشاهده شده در مرحله میانی نمو، میوه احتمالاً به دلیل حضور کتچین (فللونول) در سلول است که با یافته‌های Wuyts (۲۰۰۶) در مورد ریشه موز مطابقت دارد.

### نتیجه گیری کلی

در این مطالعه سعی شد تا مکانیابی بافتی و الگوی تجمع برخی ترکیبات فلزی در مراحل مختلف نمو میوه سیب گالا با استفاده از روش‌های میکروسکوپی (نورپاش تابشی و فلورسنس) و کروماتوگرافی بررسی شود. استفاده از روش‌های میکروسکوپی فوق در تلفیق با روش‌های کروماتوگرافی روشی مطمئن در شناسایی ترکیبات فلزی نسبت به استفاده منفرد از روش‌های کروماتوگرافی بود. برای مطالعه موفقیت آمیز ترکیبات فلزی گیاهان ابتدا باید مکان قرارگیری آنها در بافت‌های گیاهی بررسی گردد که دست‌یابی به این مهم با استفاده از روش‌های میکروسکوپی مقدور است. روش‌های میکروسکوپی در تعیین کمیت ترکیبات فلزی موجود در گیاهان ناتوانند و لذا برای رفع این مشکل باید از روش‌های کروماتوگرافی توام با روش‌های میکروسکوپی بهره جست. از آنجایی که ترکیبات فلزی نقش مهمی در ویژگی‌های چشایی (رنگ، طعم و مزه) میوه‌های تازه برداشت شده دارند و بیوستنتر این ترکیبات، مخصوصاً آنتوسيانین در مرحله برداشت میوه از دیدگاه تجاری در سیب حائز

فللونول‌ها در پوست میوه کاهش شدیدی نشان داد. نتایج حاصل از آزمایش حاضر با یافته‌های Takos و همکاران (۲۰۰۶) در خصوص کاهش میزان تانن‌های متراکم در سیب رقم Crisp red یافته‌های Lister و همکاران (۱۹۹۴) در سیب رقم Granny Smith مطابقت دارد. کاهش در میزان تانن‌های متراکم به دلیل رقیق شدن این ترکیبات بر اثر رشد میوه و افزایش در میزان آنتوسيانین است (Fournand *et al.*, 2006; Takos *et al.*, 2006; Hanlin and Downey, 2009).

**اسیدهای فلزی:** نتایج مطالعات میکروسکوپی و HPLC نشان داد که بیشترین میزان اسیدهای فلزی در مرحله ابتدایی نمو میوه سیب دیده شد و با پیشرفت فصل رشد، از میزان اسیدهای فلزی موجود در پوست میوه کاسته شد. در مرحله برداشت میوه افزایش دوباره در میزان اسیدهای فلزی مشاهده گردید. Awad و همکاران (۲۰۰۱a) بیان نمودند که در سیب ارقام Elstar و Jonagold مقدار اسیدهای فلزی در اوایل فصل بالا بوده و در مرحله رسیدن میوه مقدار ترکیبات فوق ثابت بود. فلورسنس نارنجی مایل به صورتی مشاهده شده در شکل ۳ (ستون ۲ ردیف ۱) به دلیل حضور آنتوسيانین در پوست میوه بود که با فلورسنس مشاهده شده در گیاه جو توسط Weissenbock و Hoerner (۲۰۰۳) مطابقت دارد. فلورسنس سبز - آبی مشاهده شده به دلیل حضور اسیدهای فلزی (پاراکوماریک اسید، فرولیک اسید و کافئیک اسید) بود. چنین به نظر می‌رسد که فرولیک اسید و پاراکوماریک اسید از ترکیبات فلزی متصل به دیواره‌های سلولی بوده، پیش‌ماده بیوستنتر لیگین (Rudall and Gaddick, 1994; Pothavorn, 2008) باشند.

### سپاسگزاری

از آقای نامور به دلیل همکاری در تهیه نمونه‌های مورد نیاز، از خانم دکتر اثنا عشری و خانم دکتر بامداد به جهت همکاری در آنالیز نمونه‌ها، و از آقای دکتر مطلبی آذر که تجزیه آماری این آزمایش را تقبل نمودند، بی نهایت تشکر می‌گردد. از معاونت پژوهشی دانشگاه تبریز به دلیل تأمین بخشی از هزینه‌های آزمایش حاضر کمال تشکر به عمل می‌آید.

اهمیت است، لذا شناخت دقیق این ترکیبات و مکانیابی آنها در طی فصل رشد به مدیریت دقیق باعث کمک خواهد کرد تا با ایجاد تغییراتی در مدیریت باعث (هرس، آبیاری، کود دهی، کیسه‌گذاری میوه‌ها، استفاده از پایه‌های مناسب، استفاده از پوشش‌های انعکاسی نور و ...) بتوان بیوسترن این ترکیبات را در میوه‌ها افزایش داد.

### منابع

- Alemano, L., Ramos, T., Gargadene, A., Andary, C. and Ferriere, N. (2003) Localization and identification of phenolic compounds in *Theobroma cacao* L. somatic embryogenesis. Annals of Botany 92: 613-623.
- Awad, M. A., Jager, A. D. and Wagenmakers, P. S. (2001b) Effects of light on flavonoids and chlorogenic acid levels in the skin of 'Jonagold' apple. Scientia Horticulturae 88:289-298.
- Awad, M. A., Jager, A. D., Plas, L. H. and Krol, A. R. (2001a) Flavonoid and chlorogenic acid changes in skin of 'Elstar' and 'Jonagold' apples during development and ripening. Scientia Horticulturae 90: 69-83.
- Bae, R. N., Kim, K. W., Kim, T. C. and Lee, S. K. (2006) Anatomical observation of anthocyanin rich cell in apple skins. HortScience 41(3):733-736.
- Dadpour, M. R., Grigorian, W., Nazemieh, A. and Valizadeh, M. (2008) Application of epillumination light microscopy for study of floral ontogeny in fruit trees. International Journal of Botany 4(1): 49-55.
- Fournand, D., Vicens, A., Sidhoum, L. and Marc, J. (2006) Accumulation and extractability of grape skin tannins and anthocyanins at different advanced physiological stages. Journal of Agricultural and Food Chemistry 54 (19): 7331-7338.
- Gniwotta, F., Vogg, G., Gartmann, V., Carver, T. L. W., Riederer, M. and Jetter, R. (2005) What do microbes encounter at the plant surface? Chemical composition of Pea leaf cuticular waxes. Plant Physiology 139: 519-530.
- Hanlin, R. L. and Downey, M. O. (2009) Condensed tannin accumulation and composition in skin of shiraz and Cabernet Sauvignon grapes during berry development. American Journal of Enology and Viticulture 60: 13-23.
- Hoerner, S. R. and Weissenbock, G. (2003) Contribution of phenolic compounds to the UV-B screening capacity of developing barley primary leaves in relation to DNA damage and repair under elevated UV-B levels. Phytochemistry 4: 243-255.
- Khanizadeh, S., Ding, L., Tsao, R., Rekika, D., Yang, R., Charles, M. T., Vigneault, C. and Rupasinghe, H. P. (2007) Phytochemical distribution among selected advanced apple genotypes development for fresh market and processing. Journal of Agriculture, Food, and Environmental Sciences 1(2). Retrieved from: <http://www.scientificjournals.org/journals2007/articles/1266pdf>.
- Kladnik, A., Chamusco, K., Dermastia, M. and Chourey, P. (2004) Evidence of programmed cell death in post-phloem transport cells of the maternal pedicel tissue in developing caryopsis of maize. Plant Physiology 136: 3572-3581.

- Lata, B., Trampczynska, A and Paczesna, J. (2009) Cultivar variation in apple peel and whole fruit phenolic composition. *Scientia Horticulturae* 121: 176- 181.
- Lister, C. E. Lancaster, J. E. Sutton, K. H. Walker, J. R. L. (1994) Developmental changes in the concentration and composition of flavonoids in skin of a red and a green apple cultivar. *Journal of the Science of Food and Agriculture* 64(2): 155-161.
- Pothavorn, P. (2008) Sap phenolic compositions in some bananas in Thailand. M.Sc Thesis, Mahidol University, Thailand.
- Rangari, V. (2007) Pharmacognosy: Tannin containing drugs. Retrieved from <http://nsdi.niscair.res.in/bitstream/123456789/591/1/revised+tannin+containing+drugs.pdf>
- Reay, P. F. and Lancaster, J. E. (2001) Accumulation of anthocyanins and quercetin glycosides in 'Gala' and 'Royal Gala' apple fruit skin with UV-B-visible irradiation: modifying effects of fruit maturity, fruit side, and temperature *Scientia Horticulturae* 90: 57-68.
- Rudall, P. J and Gaddick, L. R. (1994) Investigation of presence of phenolic compounds in monocotyledonous cell walls using UV fluorescence microscopy. *Annals of Botany* 74: 483-491.
- Santiago, L. J., Ricardo, P. and Oliveira, D. (2000) Compartmentation of phenolic compounds and phenylalanine ammonia-lyase in leaves of *Phyllanthus tenellus* Roxb. and their induction by copper sulphate. *Annals of Botany* 86: 1023-1032.
- Takos, A. M., Ubi, B. E., Robinson, S. P. and Walker, A. R. (2006) Condensed tannin biosynthesis gene are regulated separately from other flavonoid biosynthesis genes in apple fruit skin. *Plant Science* 170: 487-499.
- Wuyts, N. (2006) Interaction between plant parasitic nematodes and plant secondary metabolism, with emphasis on phenylpropanoids in roots. Ph.D. Thesis. Katholieke University, Belgium.
- Yuri, J., Neira, A., Quilodran, A., Motomura, Y. and Palomo, I. (2009) Antioxidant activity and total phenolics concentration in apple peel and flesh is determined by cultivar and agro-climatic growing regions in Chile. *Journal of food, Agriculture and Environment* 7: 513-517.